

Práctica 1 — Métodos Numéricos I.

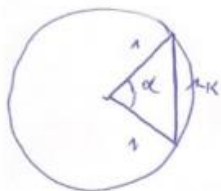
Karim Boujana Marcucci.

Ejercicio 1 (dosPi.c)

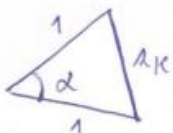
c) Demostración de las recurrencias.

1.- c) Demostremos que $a_K = \sqrt{2 - \sqrt{4 - a_K^2}}$.

Primero veamos que geométricamente $a_K = \sqrt{2 - 2 \cos \frac{2\pi}{K}}$, siendo K el número de vértices.



Observamos que, toda poligona regular se puede descomponer en triángulos isósceles para cada cordado. Esto nos permite evaluar el triángulo que forman dos vértices consecutivos y el centro de la circunferencia.



Como la circunferencia es unitaria, el radio es 1, y los lados iguales valen 1 de longitud.

Esto nos permite poner a_K en función de α gracias al teorema del coseno. Y, en particular, el ángulo $\alpha = \frac{2\pi}{K}$, pues los vértices dividen la circunferencia en K segmentos iguales.

$$\therefore a_K^2 = 1^2 + 1^2 - 2 \cos \frac{2\pi}{K} = 2 - 2 \cos \frac{2\pi}{K} \Rightarrow a_K = \sqrt{2 - 2 \cos \frac{2\pi}{K}}.$$
$$\Rightarrow a_{2K} = \sqrt{2 - 2 \cos \frac{\pi}{K}}.$$

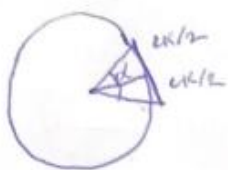
Para probar c) solo queda demostrar que $2 \cos \frac{\pi}{K} = \sqrt{4 - a_K^2}$.

$$\Leftrightarrow 4 \cos^2 \frac{\pi}{K} = 2 + 2 \cos \frac{2\pi}{K} \Leftrightarrow 4 \cos^2 \frac{\pi}{K} - 2 \cos \frac{2\pi}{K} = 2 \quad (*)$$

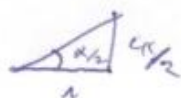
$$\Leftrightarrow 4 \cos^2 \frac{\pi}{K} - 2 \cos^2 \frac{\pi}{K} + 2 \sin^2 \frac{\pi}{K} = 2 \Leftrightarrow \cos^2 \frac{\pi}{K} + \sin^2 \frac{\pi}{K} = 1.$$

$$(*) \cos 2\alpha = \cos^2 \alpha - \sin^2 \alpha. \quad \square$$

Evaluemos geométicamente c_K .



Sabemos que el radio es 1 y el ángulo es $\frac{2\pi}{K}$.
Centramos en el triángulo formada por el punto tangente del círculo, el centro y un vértice.



De aquí se desprende que $\frac{c_K}{2} = \tan \frac{\pi}{K}$.
 $\Rightarrow c_K = 2 \tan \frac{\pi}{K}$.

Queremos probar que $c_K = \frac{2a_K}{\sqrt{4-a_K^2}}$.

Por el apartado anterior sabemos que $\sqrt{4-a_K^2} = 2 \cos \frac{2\pi}{K}$.

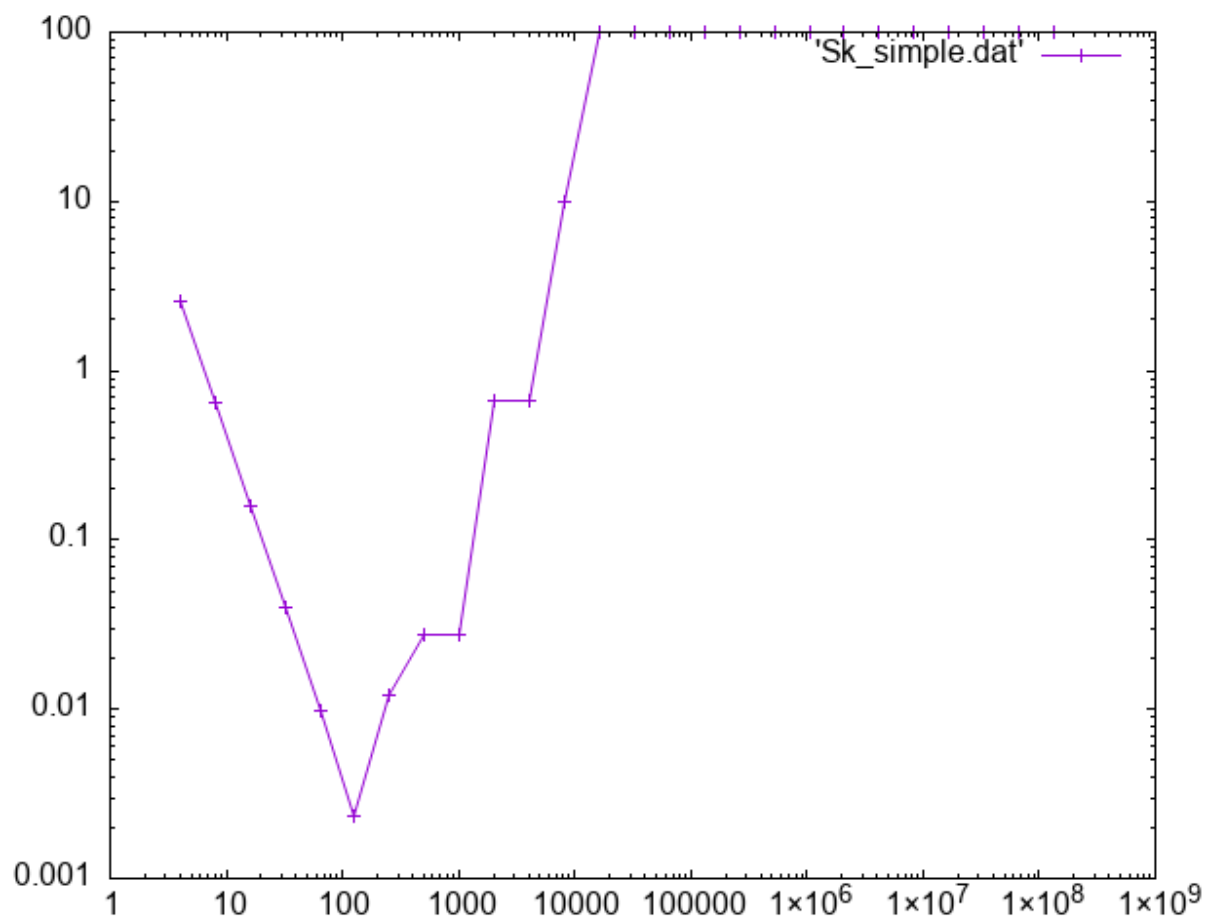
$$\therefore \frac{2a_K}{\sqrt{4-a_K^2}} = \frac{2a_K}{2 \cos \frac{\pi}{K}} = \frac{\sqrt{2-2 \cos \frac{2\pi}{K}}}{\cos \frac{\pi}{K}} = \frac{\sqrt{4} \cdot \sqrt{1-\cos \frac{2\pi}{K}}}{2 \cos \frac{\pi}{K}}$$

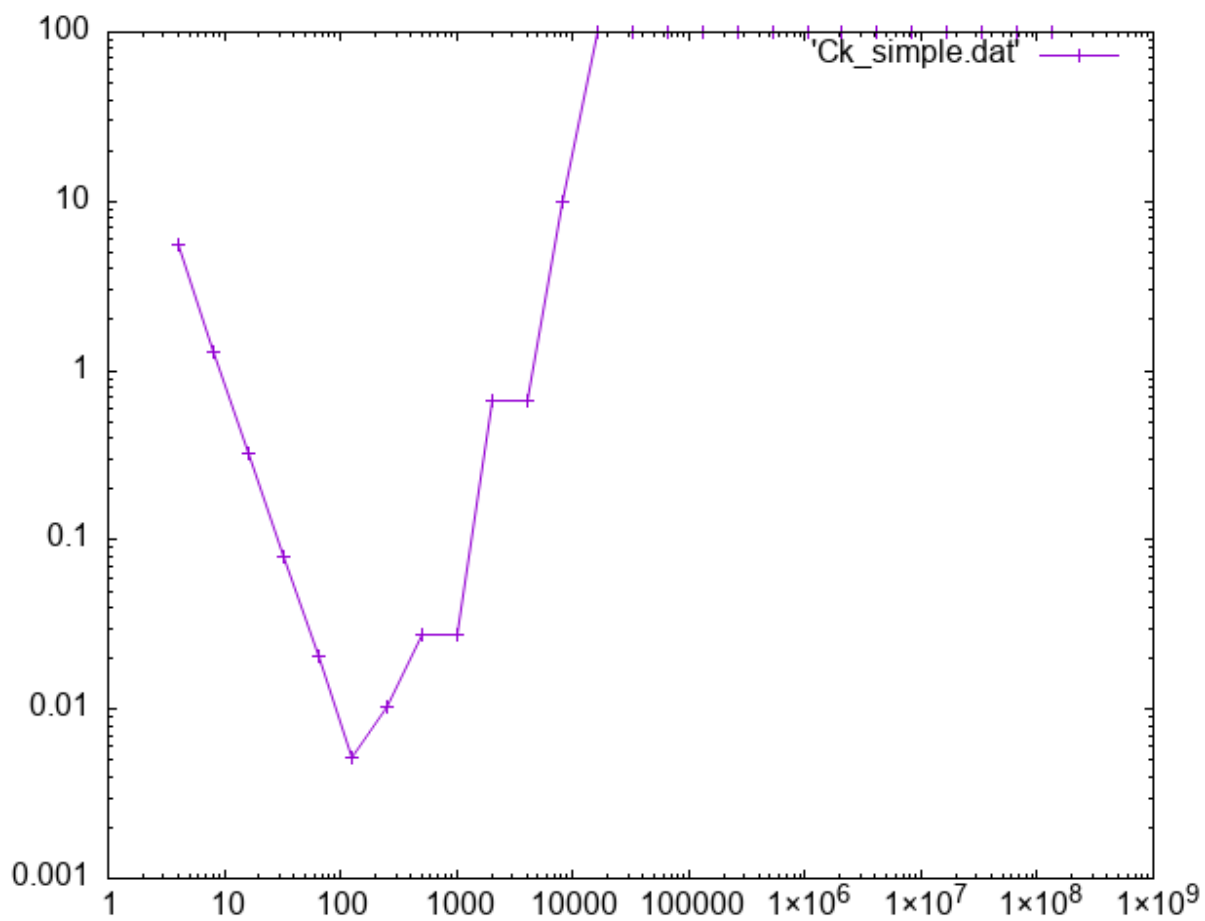
y sabemos que $\sin \frac{\alpha}{2} = \frac{\sqrt{1-\cos \alpha}}{2}$.

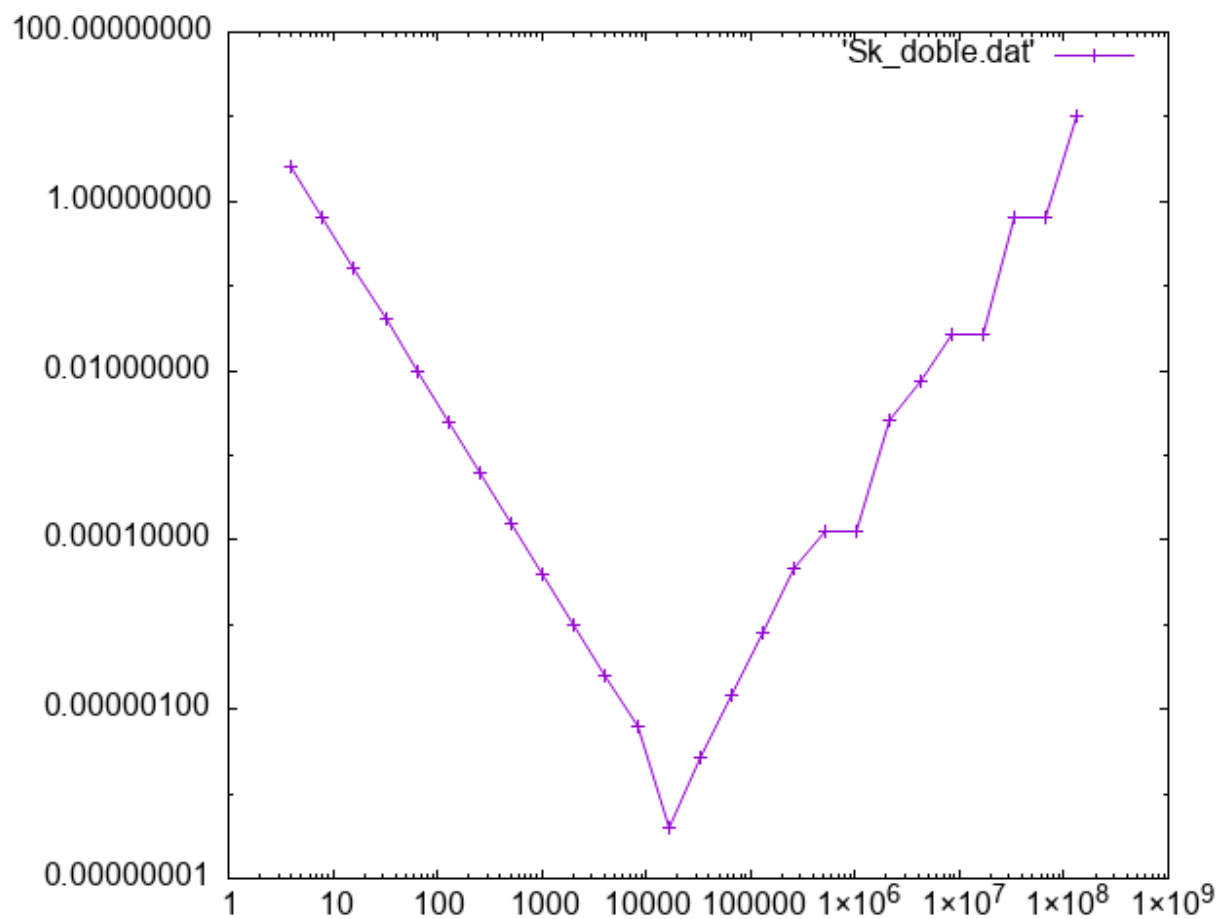
$$\therefore 2 \cdot \frac{\sqrt{1-\cos \frac{2\pi}{K}}}{2 \cos \frac{\pi}{K}} = 2 \frac{\sin \frac{\pi}{K}}{\cos \frac{\pi}{K}} = 2 \tan \frac{\pi}{K} \quad \square$$

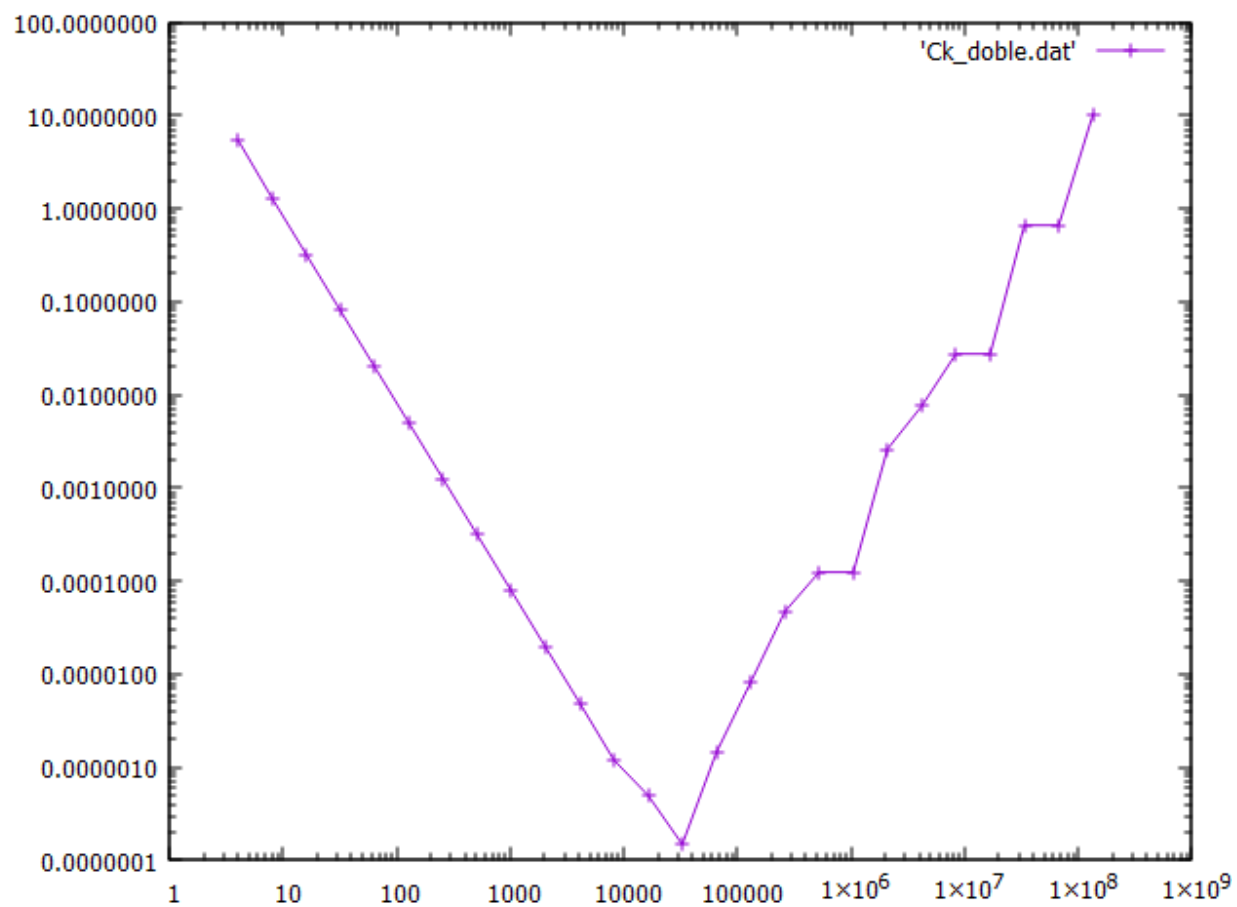
d) Para los resultados de graficar estas aproximaciones de pi, en todos los casos se puede observar un descenso original del error, para que luego este error relativo vuelva a subir, llegando a ser peor que el original error relativo original en el caso de usar la recurrencia S_k con precisión simple.

Esto ocurre por la acumulación del error relativo, cada vez la fórmula se calcula para valores más pequeños, es decir, la raíz de la raíz de la raíz ... de cuatro menos dos eventualmente causa un error de cancelación, que se acumula y hace que el error relativo incremente dramáticamente. A continuación, veamos las gráficas generadas con gnuplot.







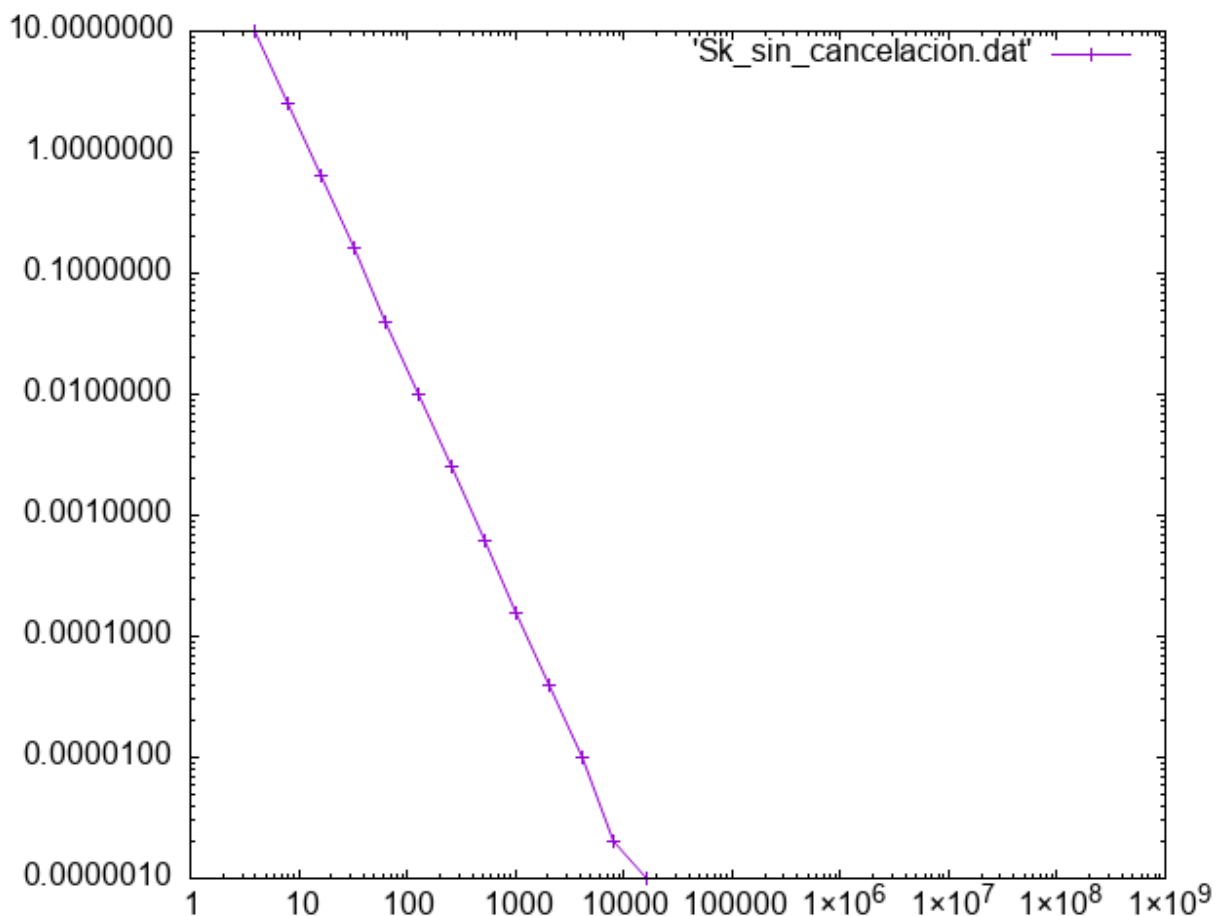


e) Para s_k podemos utilizar esta fórmula, que computacional y numéricamente es mejor.

$$a_k = 2 \cdot \sqrt{1 - \cos \frac{2\pi}{K}} = 2 \cdot \sin \frac{\pi}{K}$$

Esta representación es mejor puesta que evita la cancelación dada al restar $1 - \cos \frac{2\pi}{K}$, y dividido en enteros valores muy grandes.

Podemos observar que es mucho mejor viendo la gráfica que produce su error relativo, el cual llega al 0%.



2. a)

a) Sea $f(x) = e^x$.

La polinomial de Taylor $p_{n, x_0}(x) = 1 + \sum_{k=1}^n \frac{f^{(k)}(x_0)}{k!} (x - x_0)^k$.

En este caso, ya que $f^{(k)}(x) = e^x \quad \forall k \in \mathbb{N}$, se tiene que para $x_0 = 0$:

$$p_{n, 0}(x) = 1 + \sum_{k=1}^n \frac{x^k}{k!}$$

El resto de Lagrange tiene que $f(x) = p_{n, x_0}(x) + r_{n, x_0}(x)$.

Si consideramos $p_{n, x_0}(x) = \tilde{f}(x) \Rightarrow |e_a(\tilde{f}(x))| =$

$$= |f(x) - \tilde{f}(x)| = |f(x) - p_{n, x_0}(x)| = |r_{n, x_0}(x)|,$$

Por tanto, si acotamos $|r_n(x)|$ habremos acotado el error.

Se ve que $r_{n, x_0}(x) = \frac{f^{(n+1)}(\alpha)}{(n+1)!} (x - x_0)^{(n+1)}$ con $\alpha \in \langle x_0, x \rangle$.

Por definición, $r_{n, x_0}(x_0) = 0$, y $|r_{n, x_0}(x)| = \left| \frac{e^\alpha}{(n+1)!} \right| |x^{(n+1)}|$, $\alpha \in \langle 0, x \rangle$.

$|r_{n, 0}(x)|$ alcanza su valor máximo cuando $\alpha = |x|$, pues es creciente monótona respecto de x . Podemos fijar dos casos respecto del signo de x .

Si x positiva: $|e_a(\tilde{f}(x))| \leq \left| \frac{e^x \cdot x^{(n+1)}}{(n+1)!} \right|$

Si x negativa: $|e_a(\tilde{f}(x))| \leq \left| \frac{e \cdot x^{(n+1)}}{(n+1)!} \right|$

Se puede generalizar a una cota más "holgada" con:

$$|e_a(\tilde{f}(x))| \leq \left| \frac{e^{|x|} \cdot x^{(n+1)}}{(n+1)!} \right|.$$

Por otra parte, para conseguir una precisión de 10^{-8} , solo es necesaria conseguirlo para $x = -1$ y $x = 1$, pues el error es mayor mientras más nos alejamos de x_0 . Y se observa que la fórmula generalizada es la misma para 1 y -1.

Se comprobaba experimentalmente en mi práctica que la n necesaria es 11.

3. No observa que para $x_0 = 1$ y $x_1 = 1/3$,
la sucesión degenera a $(\frac{1}{3})^n$.

$$\therefore \frac{3}{8} (3x_0 - x_1) \left(\frac{1}{3}\right)^n + \frac{1}{8} (3x_1 - x_0) 3^n =$$
$$= \frac{3}{8} \cdot \frac{8}{3} \cdot \left(\frac{1}{3}\right)^n = \left(\frac{1}{3}\right)^n.$$

y para $x_0 = \frac{1}{3}$ y $x_1 = 1$, la sucesión degenera
a 3^{n-1} .

$$\therefore \frac{3}{8} (3x_0 - x_1) \left(\frac{1}{3}\right)^n + \frac{1}{8} (3x_1 - x_0) 3^n =$$
$$= \frac{1}{8} \cdot \frac{8}{3} \cdot 3^n = 3^{-1} \cdot 3^n = 3^{n-1}.$$